



مجله علوم و تکنولوژی پلیمر، سال بیستم،

شماره ۳، صفحه ۲۰۹-۲۲۰، ۱۳۸۶

ISSN : 1016-3255

# اثر پارامترهای مهم عملیاتی بر خواص محصول و شرایط کارکرد در راکتور دوغابی پلی‌اتیلن سنگین

## Effects of Important Operating Parameters on Product Properties and Operation of HDPE Slurry Reactor

محمد سلطانیه<sup>\*</sup>، احمد رمضانی سعادت آبادی، علی دشتی، جعفر مختاری

تهران، دانشگاه صنعتی شریف، دانشکده مهندسی شیمی و نفت، صندوق پستی ۱۱۳۶۵/۸۶۳۹

دریافت: ۸۷/۷/۲۹، پذیرش: ۸۵/۱۲/۱۳

### چکیده

در این پژوهش، مدل کاملی برای راکتور مخزنی همزن دار برای پلیمرشدن اتیلن در مجاورت کاتالیزورهای ناهمگن زیگلر - ناتا ارائه شده است. در مدل یاد شده علاوه بر اثر وجود مرآکز فعال چندگانه اثر دیگر پارامترهای مهم از جمله غلظت کاتالیزور، کک کاتالیزور، هیدروژن، مونومر، ناخالصی‌ها و فشار روی متوسطهای جرمی و عددی طول زنجیر محصول پلیمری، متوسط شاخص چندتوزیعی محصول پلیمری و زمان اقامت مورد نیاز راکتور در نظر گرفته شده است. نتایج حاصل از شبیه‌سازی نشان می‌دهد که با افزایش غلظت کاتالیزور، هیدروژن، حال و کک کاتالیزور، متوسطهای وزنی و عددی طول زنجیرهای پلیمری کاهش می‌یابد. در حالی که با افزایش غلظت مونومر و فشار سامانه متوسطهای وزن مولکولی افزایش می‌یابد. اثر عوامل سامانه بر شاخص چندتوزیعی و زمان اقامت روندی یکسان ندارد و در برخی از مقادیر روند وابستگی تغییر می‌کند.

### واژه‌های کلیدی

پلی‌اتیلن سنگین، راکتور دوغابی، کاتالیزور زیگلر - ناتا، پلیمرشدن، شبیه‌سازی

### مقدمه

است. توضیحات و فرضیه‌های مختلفی برای این پدیده‌ها، تاکنون پیشنهاد و ارائه شده است [۱-۳]. اما، اغلب آنها را می‌توان در دو گروه عمده دسته‌بندی کرد.

گروهی از پژوهشگران پیشنهاد می‌کنند که در طول پلیمرشدن، مقاومت‌های انتقال جرم و گرمای،

گستره توزیع وزن مولکولی، گستره توزیع ترکیب شیمیایی و سرعت واکنش کاهشی مشاهده شده در پلیمرشدن کاتالیزوری زیگلر - ناتای ناهمگن و در بعضی واکنش‌های پلیمرشدن کاتالیزوری زیگلر - ناتای همگن موضوع مورد پژوهش قابل توجهی در بین پژوهشگران بوده

### Key Words

high density polyethylene, slurry reactor, Ziegler-Natta catalyst, polymerization, simulation

\* مسئول مکاتبات، پیام نگار: msoltanieh@sharif.edu

جدول ۱- شرایط عملیاتی راکتور پلیمرشدن.

مقدار	مشخصه
۱۰۰۰	حجم راکتور فاز مایع (L)
۱۵۰	حجم راکتور فاز گاز (L)
۶	فشار راکتور (atm)
۶۰	دماهی راکتور (°C)
۲	تعداد مرکز فعال کاتالیزور
$۲/۷ \times 10^{-۶}$	غاظت مرکز فعال نوع اول (mol/L)
$۲/۷ \times 10^{-۶}$	غاظت مرکز فعال نوع دوم (mol/L)
۰/۰۱	درصد هیدروژن در خوارک
$۲ \times 10^{-۴}$	ضریب کلی انتقال گرما (cal/m².K.h)
۲۰۰	سطح کل انتقال گرما (m²)

به سطح کاتالیزور و مرکز فعال و دیدگاه میکروسکوپی مربوط به سینتیک پلیمرشدن، غاظت اجزای فعال سامانه در هر بازه زمانی و اثر آن روی خواص پلیمر تولیدی. دیدگاه اول، نیازمند نوشتمن معادله های موازنی مولی هر جزء حول راکتور است و با توجه به فازهای مایع - گاز ارتباط تعادلی اجزای سامانه در این دو فاز باید مورد توجه قرار گیرد، که بر اساس قاعده هنری به شکل زیر بیان می شود:

$$x_i k_i = y_i P \quad (1)$$

که در این حالت  $x_i$  کسر مولی جزء حل شده در حلال،  $y_i$  کسر مولی آن در فاز گاز و  $P$  ثابت هنری جزء مربوط است. در این معادله  $P$  فشار کل سامانه است. برای محاسبه ثابت های هنری مونومر، کومونومر و هیدروژن از معادلات (۲) تا (۴) استفاده شد. مقادیر ثابت های ارائه شده در این معادله ها در جدول ۲ آمده است.

برای مونومر اول

$$k_1 = A - \frac{B}{T(K)} + \frac{C}{T(K)^2} \quad (2)$$

برای مونومر دوم

$$k_2 = A k_1 \exp\left(\frac{B}{T(K)}\right) \quad (3)$$

برای هیدروژن

$$k_{H_2} = A \quad (4)$$

علت پدیده های مشاهده شده هستند. در حالی که گروه دیگر، آثار انتقال را ناچیز می دانند و توضیح می دهند که علت پدیده های مشاهده شده در طول پلیمرشدن، وجود انواع مرکز فعال چندگانه در کاتالیزور است [۲-۱۰]. رویکرد عمومی، در نظر گرفتن آثار هر دوی اینها به طور هم زمان است. مدل های ریاضی متفاوتی بر اساس این رویکرد پیشنهاد شده است. معروف ترین مدلی که مقاومت های انتقال جرم و گرما را علت پدیده های مشاهده شده می داند، مدل چند ذره ای است. در این مدل دو سطح انتقال جرم و گرما را در نظر می گیرند. ذره پلیمری که در این مدل درشت ذره نامیده می شود، با تجمع ریز ذرات تشکیل می شود. هر ریز ذره شامل ذره کاتالیزوری جامد است که در تمام آنها مرکز فعال روی سطح آن قرار دارد و با پلیمر در حال رشد احاطه می شود. در این مدل، تعداد ریز ذرات و عوامل انتقال در ذرات درشت و ریز تخمین زده می شود [۱۱].

در دسته دوم از مدل ها، مقاومت های جرم و گرما، ناچیز فرض می شوند و در عوض روی مرکز کاتالیزور، انواع چندگانه از مرکز فعال را در نظر می گیرند. بر اساس شواهد تجربی فراوان، هر نوع مرکز فعال ثابت های سینتیکی ویژه ای دارد و پلیمرهایی با توزیع وزن مولکولی، توزیع ترکیب شیمیابی و نظم فضایی بسیار متفاوت تولید می کند [۲]. با توجه به شواهد تجربی و اثبات علمی این نظریه توسط پژوهشگران [۲، ۳، ۶، ۷، ۱۲] برای شبیه سازی بر مبنای این دسته مدل ها مدل سازی انجام شده است.

### مبانی نظری مدل سازی

در ابتدا ضمن اشاره اجمالی به سامانه راکتور پلیمرشدن، کاتالیزور، کمک کاتالیزور، هیدروژن، حلال و ناخالصی ها، مدل دینامیکی ریاضی و محدودیت ها و شرایط آن بیان می شود.

با توجه به این که به طور معمول در فرایندهای صنعتی تولید هموپلیمرها و کوپلیمرهای پلی اولفین از جمله پلی اتیلن از چند مجموعه راکتورهای پیوسته مخزنی همزدن دار استفاده می شود. بنابراین، مدل سازی برای این سامانه راکتور به روش نایپوسته انجام شده است. کاتالیزور مورد استفاده در راکتور، کاتالیزور زیگلر - ناتای همگن پایه دار از نوع  $TiCl_4/MgCl_2$  به همراه کمک کاتالیزور تری اتیل آلومینیم (TEAI) بود. از حلال هگران که در فرایندهای تجاری کاربرد دارد، استفاده شد. شرایط عملیاتی راکتور در جدول ۱ آمده است.

نکته قابل توجه این است که مدل سازی طوری انجام شد که هر نوع کاتالیزوری را می توان با توجه به تغییر ثابت های سینتیکی مربوط در شبیه سازی ارزیابی کرد، یعنی در واقع مدل ریاضی نوشته شده قابلیت کاربرد عمومی دارد. مدل مورد استفاده از دو دیدگاه مورد توجه قرار می گیرد. یکی دیدگاه ماکروسکوپی یعنی نحوه و مقدار دسترسی مونومر

جدول ۳- پارامترهای سینتیکی پلیمرشدن و مقادیر مربوط [۲، ۳]

پارامتر	$k_{ij}$ (L/mol.s)	$i$	$k$	مرکز نوع ۱	مرکز نوع ۲
$k_f$ (L/mol.s)	-	-	-	۷۰	۷۰
$k_d$ ( $s^{-1}$ )	-	-	-	۰/۰۰۰۱	۰/۰۰۰۱
$k_{dIM}$ (L/mol.s)	-	-	-	۲۰۰۰	۲۰۰۰
$k_{HA}$ (L/mol.s)	-	-	-	۲۰/۰	۲۰/۰
$k_a$ ( $s^{-1}$ )	-	-	-	۰/۰۰۰۳	۰/۰۰۰۳
$k_{Hi}$ (L/mol.s)	۱	-	-	۷۰	۷۰
$k_{tHi}$ (L/mol.s)	۲	-	-	۰/۱	۰/۱
$k_{beta}$ ( $s^{-1}$ )	۱	-	-	۰/۰۰۰۱	۰/۰۰۰۱
$k_{tAi}$ (L/mol.s)	۲	-	-	۰/۰۰۰۱	۰/۰۰۰۱
$k_{pik}$ (L/mol.s)	۱	۱	-	۸۵/۰	۸۵/۰
$k_{tmik}$ (L/mol.s)	۱	۲	-	۰/۰۰۲۱	۰/۰۰۲۱
$k_{tmik}$ (L/mol.s)	۲	۱	-	۰/۱۱	۰/۰۰۶
$k_{tmik}$ (L/mol.s)	۲	۲	-	۰/۰۰۱	۰/۰۰۲۱
$k_{tmik}$ (L/mol.s)	۲	۲	-	۰/۱۱	۰/۰۰۶

خوارک و فشار بر خواص مهم محصول پلیمری شامل متoste های وزنی و عددی طول پلیمر، متoste شاخص چندتزویعی و زمان اقامت مورد نیاز برای رسیدن به مقدار مطلوب تبدیل اتیلن موردن توجه قرار گرفته و رفتار آنها مشخص شده است. قبل از بحث در مورد رفتارهای مشاهده شده، لازم است درباره اصولی که در تمام منحنی ها مشاهده می شود، مطالبی ذکر شود تا بعداً در تفسیر نتایج از آنها استفاده شود.

۱- هر عاملی که باعث شود مراکز فعال آغازی، در غلظت ثابت مونومرها در محلول افزایش یابد، باعث کوتاهتر شدن طول زنجیرهای تشکیل شده روی مراکز فعال آغازی می شود. این عامل باعث کاهش زمان اقامت مورد نیاز در راکتور نیز می شود. علت این است که افزایش مراکز فعال آغازی در محلول در غلظت ثابت مونومرها باعث کاهش سهم مونومرهایی می شود که به مراکز محلول در سامانه می رسد، در

جدول ۲- ثابت های مربوط به قاعده هنری اجزای اصلی سامانه [۲، ۳]

اجزا	A	B	C
مونومر ۱	$0/275 \times 10^3$	$0/1396 \times 10^6$	$0/1793 \times 10^6$
مونومر ۲	$0/422$	$0/7046 \times 10^3$	-
هیدروژن	۱۰۰	-	-

از دیدگاه میکروسکوپی، برای مدل سازی ابتدا باید بر مبنای ساز و کار پلیمرشدن زیگلر - ناتا، سینتیک واکنش ها را در نظر گرفت. سینتیک پلیمرشدن شامل مراحل تشکیل مراکز فعال، واکنش های آغاز، انتشار، انتقال به مونومر، انتقال به کمک کاتالیزور، انتقال به هیدروژن، واکنش های غیرفعال شدن و واکنش با ناخالصی هاست که بر مبنای مدل جامع پیشنهادی مک اولی و همکاران [۵] مورد استفاده قرار گرفته است. با به کارگیری سینتیک واکنش های یادشده که در متن مقاله به آن اشاره شده، معادلات موازنۀ جمعیتی تمام اجزای سامانه به شکل دستگاه معادلات دیفرانسیل معمولی به دست می آید. پارامترهای سینتیکی و مقادیر آنها در جدول ۳ آمده است. از حل هم زمان این دستگاه معادلات در هر بازه زمانی غلظت اجزای فعال سامانه تخمین زده می شود. در ادامه با استفاده از روش ممانها دستگاه معادلات مربوط به ممان های صفر، اول و دوم زنجیرهای پلیمر در حال رشد و اختتام یافته حاصل می شود که باید به طور هم زمان این معادلات حل شود. با توجه به ارتباط ممان های حاصل با متoste های وزنی ( $\bar{N}_w$ ) و عددی ( $\bar{N}_n$ )، طول زنجیرهای پلیمری و شاخص متoste چندتزویعی ( $\overline{PDI}$ )، این خواص تخمین زده می شود.

### روش تحلیلی و اهداف پژوهش

در ادامه یک برنامه رایانه ای برای شبیه سازی راکتور دوغابی پلی اتیلن سنگین، بر مبنای مدل ارائه شده توسط سورس و هامیلک [۲] نوشته شد که اساس آن بر وجود انواع مراکز چندگانه روی سطح کاتالیزور ناهمنگ زیگلر - ناتا و متالوسن است. سینتیک واکنش از مرجع [۵] گرفته شده است. شکل ۱ الگوریتم برنامه اجرا شده را نشان می دهد و جزئیات مدل سازی برنامه رایانه ای توسط مختاری [۱۲] به دست آمده است. برنامه به کمک نرم افزار Matlab 6.5 و با استفاده از بخش Simulink این نرم افزار نوشته شده است. به دلیل در دسترس نبودن نتایج در مقالات برای مقایسه و ارزیابی دقت پیش بینی های شبیه سازی، نتایج به طور کیفی ارزیابی شده است.

بر اساس این برنامه رایانه ای اثر افزایش پارامترهای مهم چون کاتالیزور، کمک کاتالیزور، هیدروژن، مونومر، حلال، ناخالصی های

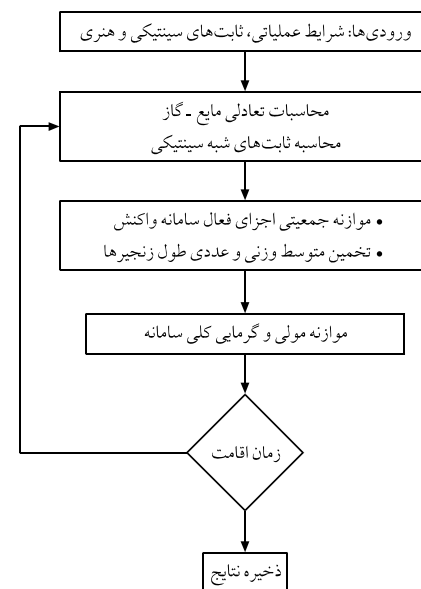
۳- هر عاملی که باعث تبدیل زنجیرهای زنده پلیمری بیشتری به زنجیرهای غیرقابل رشد شوند، موجب افزایش شاخص چندتوزیعی محصول پلیمری و کاهش طول متوسط زنجیرهای پلیمری می‌شوند. طبیعی است عواملی که مانع از رشد زنجیرهای پلیمری می‌شوند، متوسط طول زنجیرهای تشکیل شده را روی مراکز فعال کاهش می‌دهند.

۴- هر عاملی که موجب تبدیل مراکز فعال آغازی بیشتری از نوع  $N(0,j)$  به مراکزی شود که روی آنها اتم‌های هیدروژن و ناخالصی‌ها قرار دارد، باعث افزایش زمان اقامت مورد نیاز در راکتور می‌شود. زیرا، تا زمانی که این ناخالصی‌ها از روی مرکز فعال جدا نشوند، این مراکز در تشکیل زنجیرهای جدید شرکت نمی‌کنند و این موضوع باعث طولانی تر شدن فرایند تشکیل زنجیرهای جدید می‌شود. زمان اقامت در مورد مراکز هیدروژن دار کمتر از موقعی است که ناخالصی‌ها روی مرکز قرار گرفته‌اند و بیشتر از مراکز فعال آغازی  $N(0,j)$  است.

## نتایج و بحث

### اثر افزایش غلظت کاتالیزور

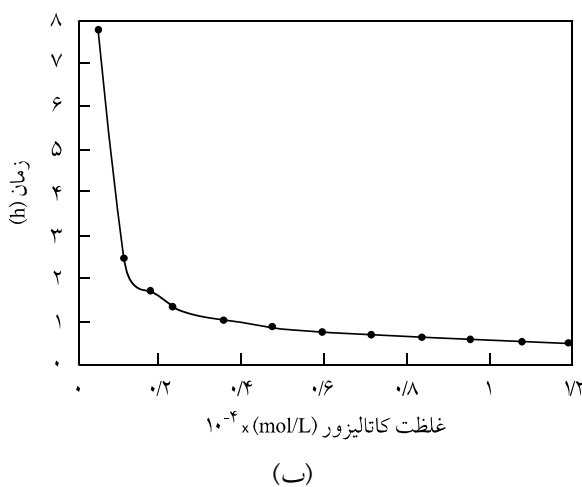
برای بررسی اثر افزایش غلظت کاتالیزور بر پارامترهای مورد نظر، غلظت کاتالیزور در محدوده بین مقادیر  $10^{-6} \times 10^{-4}$  mol/L تا  $10^{-2} \times 10^{-4}$  mol/L تغییر داده شد. در شکل ۲ اثر غلظت کاتالیزور بر زمان اقامت مورد نیاز و شاخص چندتوزیعی محصول پلیمر نشان داده شده است. برای تفسیر نتیجه مشاهده شده در شکل ۲، با توجه به مرحله تشکیل مرکز فعال طبق



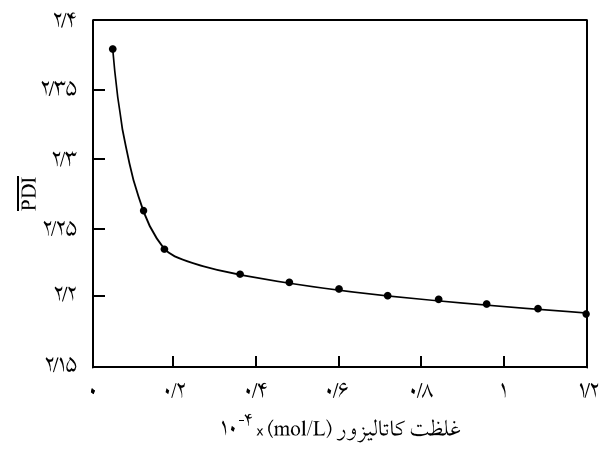
شکل ۱- نمودار جریانی الگوریتم محاسبات رایانه‌ای.

نتیجه طول زنجیرهای تشکیل شده روی این مراکز کم می‌شود. در ضمن احتمال رسیدن مونومرهای محلول در سامانه به این مراکز فعال و در زنجیر قرار گرفتن آنها افزایش یافته و در نتیجه زمان اقامت مورد نیاز کاهش می‌یابد.

۲- هر عاملی که باعث شود زمان اقامت مورد نیاز برای تبدیل معین اتیلن افزایش یابد، باعث افزایش مصرف کاتالیزور و کمک کاتالیزور شده و موجب افزایش شاخص چندتوزیعی محصول پلیمری می‌شود. مثلاً اگر زمان اقامت از  $40\text{ min}$  به  $60\text{ min}$  افزایش یابد، طبیعی است که با افزایش زمان اقامت، کمک کاتالیزورهای بیشتری باعث شدن مراکز بالقوه فعال می‌شوند. بنابراین، مصرف کاتالیزور نیز افزایش می‌یابد.

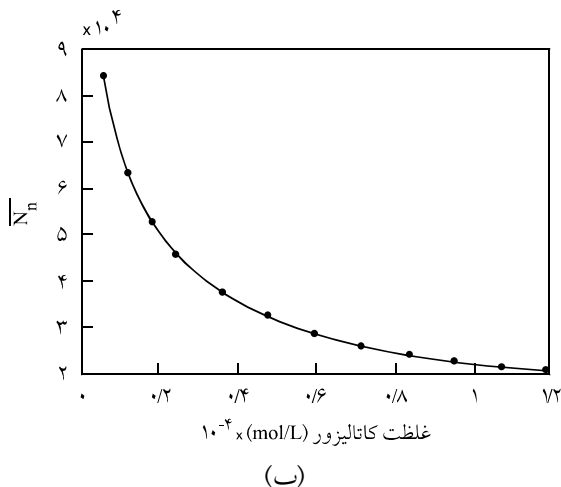


(ب)

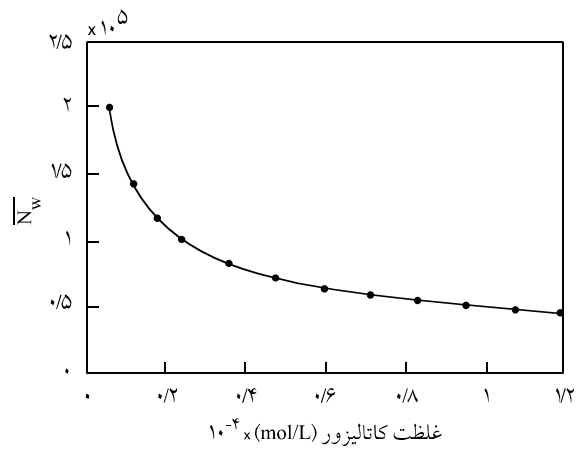


(الف)

شکل ۲- اثر غلظت کاتالیزور بر: (الف) میانگین شاخص چندتوزیعی و (ب) زمان اقامت مورد نیاز.



(ب)



(الف)

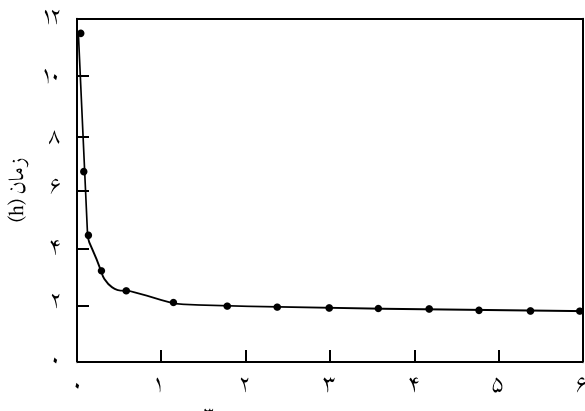
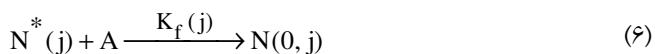
شکل ۳- اثر غلظت کاتالیزور بر: (الف) متوسطهای وزنی ( $\bar{N}_w$ ) و (ب) عددی ( $\bar{N}_n$ ) طول زنجیرهای پلیمری.

زنジرهای تشکیل شده روی مراکز فعال می‌شود و در نتیجه منجر به رفتار کاهشی مشاهده شده در مورد  $\bar{N}_n$  و  $\bar{N}_w$  می‌شود.

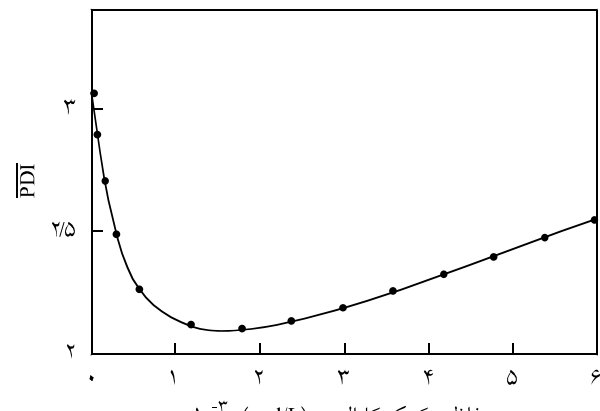
#### اثر افزایش غلظت کمک کاتالیزور

برای بررسی اثر افزایش غلظت کمک کاتالیزور بر پارامترهای گفته شده در بالا، غلظت کمک کاتالیزور در محدوده  $10^{-5} \times 2374 \times 10^{-3}$  mol/L تغییر داده شد. در شکل ۴ اثر غلظت کمک کاتالیزور بر زمان اقامت مورد نیاز و شاخص چندتوزیعی محصول مشاهده می‌شود. برای توضیح پدیده‌های مشاهده شده مراحل زیر بررسی شد:

مرحله تشکیل مرکز فعال

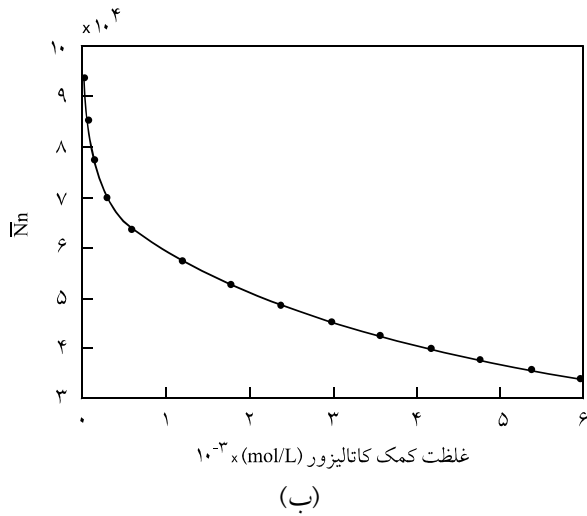


(ب)

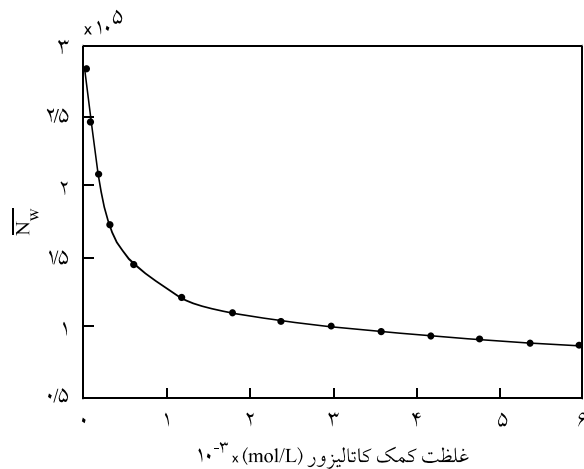


(الف)

شکل ۴- اثر غلظت کمک کاتالیزور بر: (الف) میانگین شاخص چندتوزیعی و (ب) زمان اقامت مورد نیاز.



(ب)



(الف)

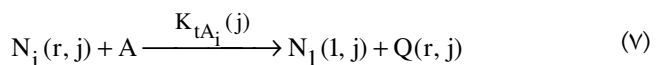
شکل ۵- اثر غلوظت کمک کاتالیزور بر: (الف) متوسط های وزنی ( $\bar{N}_w$ ) و (ب) عددی ( $\bar{N}_n$ ) طول زنجیرهای پلیمری.

چندتوزیعی محصول می شود. در نتیجه مشاهده می شود دو عامل متضاد بر شاخص چندتوزیعی محصول اثر می کنند. یکی باعث افزایش و دیگری موجب کاهش آن می شود. در غلوظت های کم کمک کاتالیزور اثر مرحله تشکیل مرکز فعال بیشتر است. در نتیجه روند کاهشی در شاخص چندتوزیعی مشاهده می شود و در غلوظت خاص از کمک کاتالیزور مرحله انتقال به کمک کاتالیزور اهمیت بیشتری می یابد. بالاخره با افزایش ( $\text{Z}_0$ ) در محلول در غلوظت ثابت مونومرها مطابق بند (۱) مقادیر  $\bar{N}_n$  و  $\bar{N}_w$  کاهش می یابند (شکل ۵).

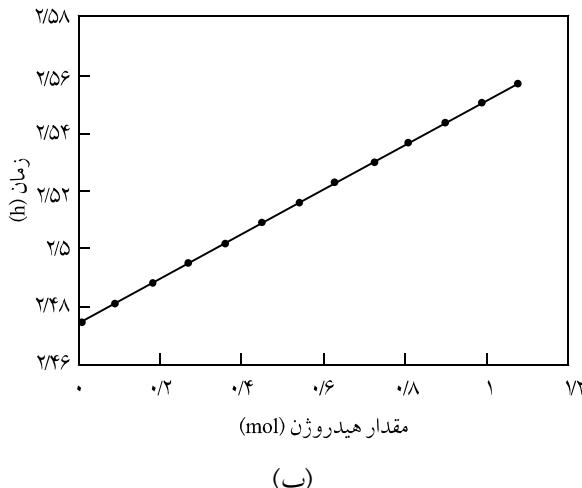
### اثر افزایش غلوظت هیدروژن

برای بررسی اثر افزایش غلوظت هیدروژن بر پارامترهای گفته شده در

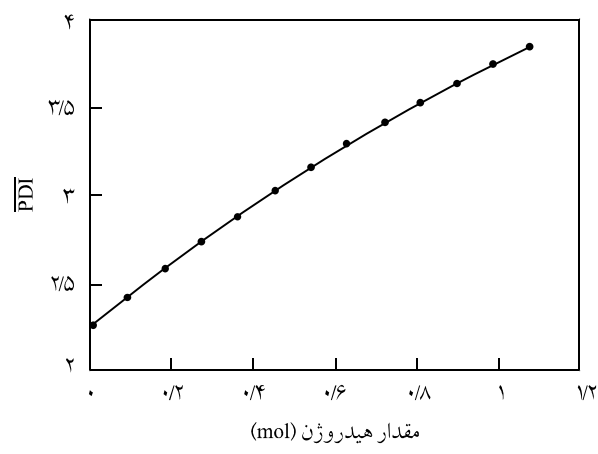
مرحله انتقال به کمک کاتالیزور



همان طور که در مرحله تشکیل مرکز فعال مشاهده می شود، با افزایش غلوظت کمک کاتالیزور ( $N^*$ )<sub>(j)</sub> بیشتری فعال می شوند و در نتیجه ( $Z_0$ )<sub>(j)</sub> در محلول افزایش می یابند. پس، مطابق بند (۱)، زمان اقامت موردنیاز راکتور کاهش می یابد و مطابق بند (۲)، افزایش غلوظت کمک کاتالیزور باعث کاهش شاخص چندتوزیعی محصول می شود. از طرفی در مرحله انتقال به کمک کاتالیزور، افزایش غلوظت باعث تبدیل زنجیرهای فعال پلیمری بیشتری به زنجیرهای غیرقابل رشد  $Q(r, j)$  می شوند. بنابراین، مطابق بند (۳) این موضوع باعث افزایش شاخص

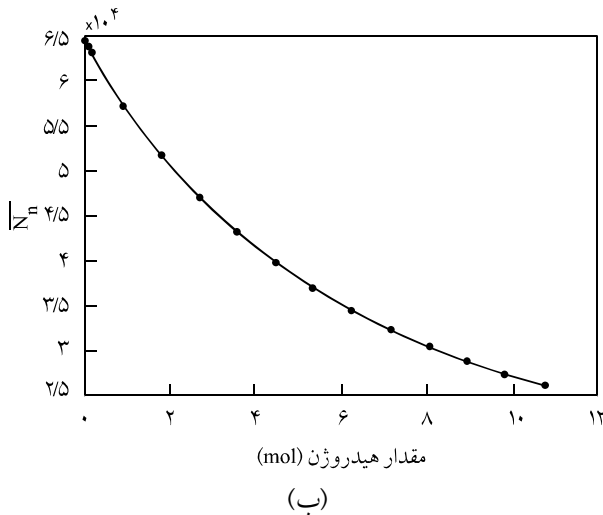


(ب)

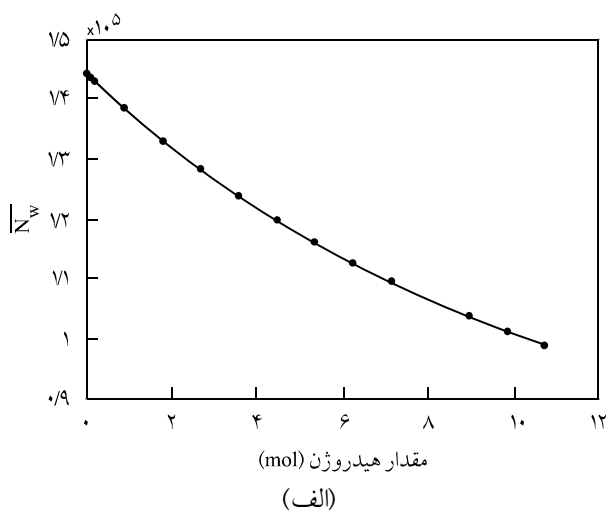


(الف)

شکل ۶- اثر مقدار هیدروژن بر: (الف) میانگین شاخص چندتوزیعی و (ب) زمان اقامت موردنیاز.



(ب)



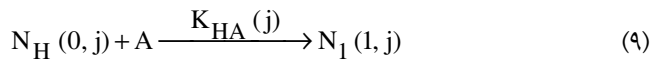
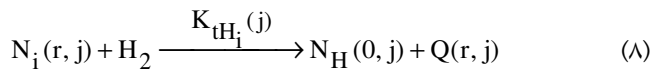
(الف)

شکل ۷- اثر مقدار هیدروژن بر: (الف) متوسطهای وزنی ( $\bar{N}_w$ ) و (ب) عددی ( $\bar{N}_n$ ) طول زنجیرهای پلیمری.

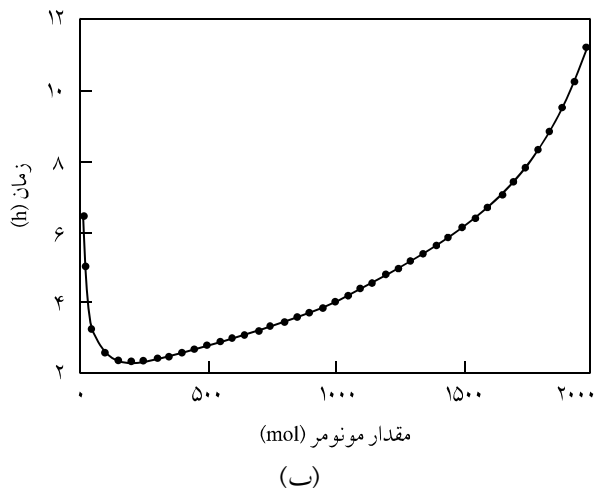
به هیدروژن اهمیت زیادی می‌یابد. مشاهده می‌شود که در واکنش (۸) زنجیرهای زنده بیشتری به زنجیرهای غیرقابل رشد تبدیل می‌شوند. بنابراین، مطابق بند (۳) افزایش غلظت هیدروژن منجر به افزایش شاخص چندتوزیعی محصول می‌شود. از طرفی در واکنش (۸) مشاهده می‌شود که مراکز فعال هیدروژن دار ( $N_{H(0,j)}$ ) در محلول افزایش می‌یابد، بنابراین مطابق بند (۴) زمان اقامت مورد نیاز افزایش و مطابق بند (۲) شاخص چندتوزیعی محصول نیز افزایش می‌یابد. پس همان طور که در شکل ۶ مشاهده می‌شود شاخص چندتوزیعی و زمان هر دو روند افزایشی دارند. مطابق بند (۳) افزایش  $Q(r,j)$  باعث کاهش طول زنجیرهای پلیمری می‌شود و در نتیجه روند کاهشی در شکل ۷ برای  $\bar{N}_w$  و  $\bar{N}_n$  مشاهده می‌شود.

بالا، تعداد مولهای هیدروژن در محدوده  $0.018 \text{ mol}$  تا  $0.018 \text{ mol}$  تغییر داده شد. برای توضیح پدیده‌های مشاهده شده در شکل‌های ۶ و ۷ مرحله انتقال به هیدروژن بررسی شد.

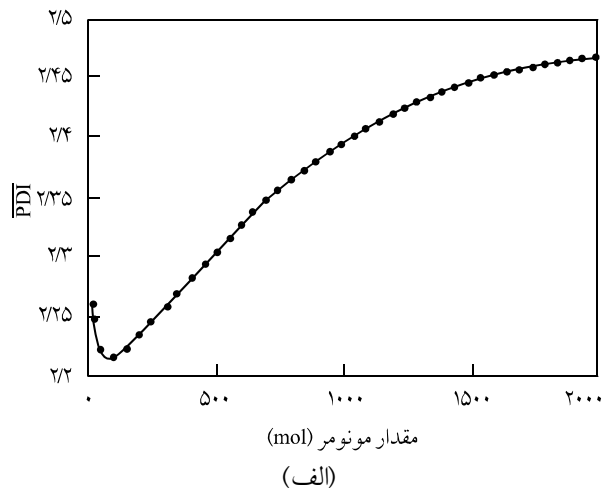
#### مرحله انتقال به هیدروژن



همان‌طور که مشاهده می‌شود با افزایش غلظت هیدروژن مرحله انتقال

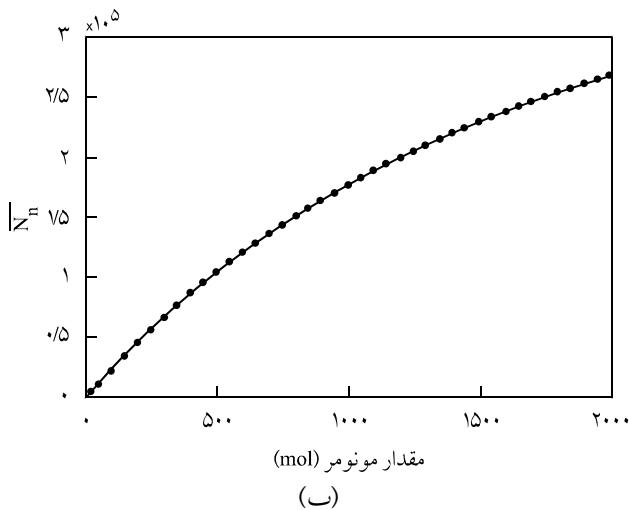


(ب)

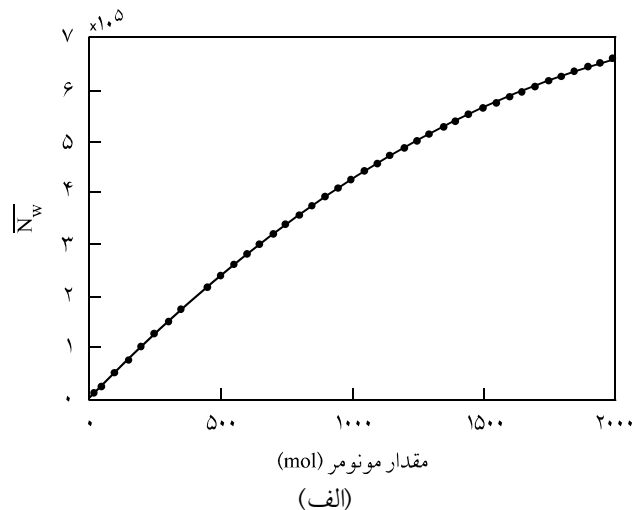


(الف)

شکل ۸- اثر مقدار مونومر بر: (الف) میانگین شاخص چندتوزیعی و (ب) زمان اقامت مورد نیاز.



(ب)



(الف)

شکل ۹- اثر مقدار مونومر بر: (الف) متوسط های وزنی ( $\bar{N}_w$ ) و (ب) عددی ( $\bar{N}_n$ ) طول زنجیرهای پلیمری.

می باید، در نتیجه روند افزایشی در شکل ۹ برای  $\bar{N}_n$  و  $\bar{N}_w$  ها مشاهده می شود.

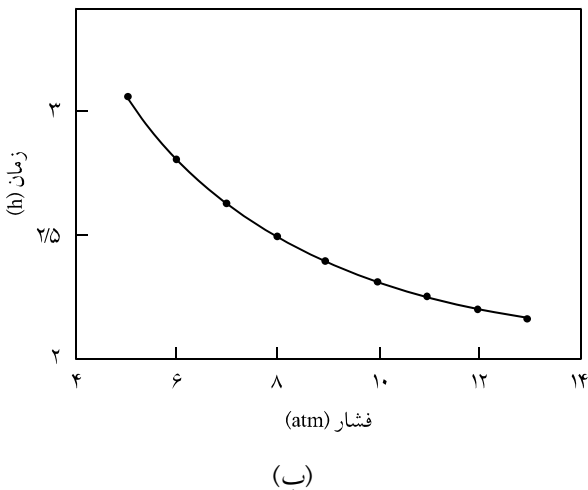
#### اثر افزایش فشار راکتور

برای بررسی اثر افزایش فشار راکتور بر زمان اقامت مورد نیاز و متوسط های عددی و وزنی طول زنجیرهای پلیمری و متوسط شاخص چندتوزیعی محصول، فشار راکتور در محدوده ۵ تا ۱۳ atm تغییر داده شد. افزایش فشار راکتور باعث افزایش انحلال پذیری اجزای گازی به ویژه اتیلن (به عنوان مونومر اصلی) در حلال می شود، در نتیجه همان طور که در شکل ۱۰ مشخص است، زمان اقامت مورد نیاز برای تبدیل مقدار معین اتیلن کاهش می یابد. همین طور مطابق بند (۲) شاخص چندتوزیعی محصول نیز کاهش و مطابق بند (۲)، مصرف کاتالیزور و کمک کاتالیزور نیز با کاهش زمان اقامت مورد نیاز در راکتور

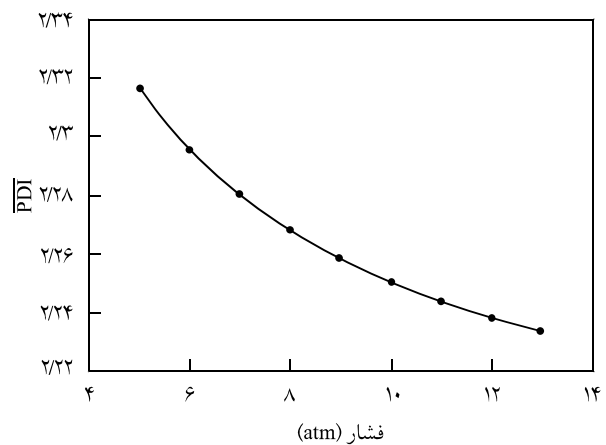
#### اثر افزایش غلظت مونومر

برای بررسی اثر افزایش غلظت مونومر بر پارامترهای مورد ارزیابی، تعداد مول های مونومر در محدوده ۲۰ تا ۲۰۰۰ mol تغییر داده شد. مطابق شکل ۸ طبیعی است که در غلظت خیلی کم مونومر، به علت رقت زیاد زمان اقامت برای دست یابی به مقدار تبدیل معین زیاد خواهد بود. همچنین، در غلظت خیلی زیاد مونومر نیز زمان اقامت مورد نیاز برای دست یابی به مقدار تبدیل معین زیاد خواهد بود. پس در مقدار حد واسط این دو حد، غلظتی وجود دارد که در آن زمان اقامت مورد نیاز کمترین مقدار ممکن خواهد بود. به همین ترتیب شاخص چندتوزیعی محصول نیز مطابق بند (۲) رفتاری مشابه خواهد داشت.

به طور کلی، با افزایش غلظت مونومر سهم مراکز فعل مونومر افزایش می یابد و در نتیجه طول زنجیرهای تشکیل شده روی این مراکز نیز افزایش

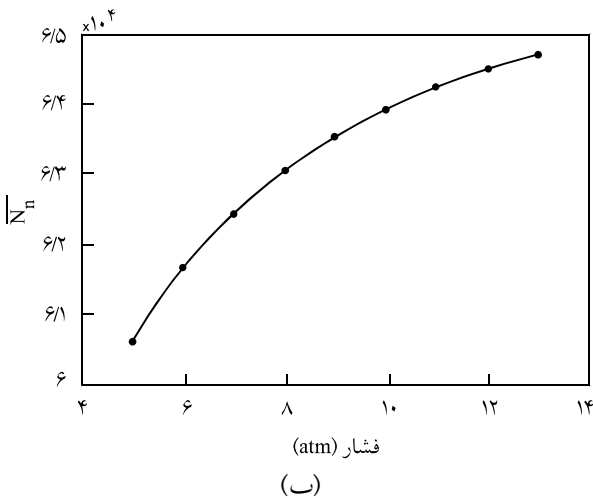


(ب)

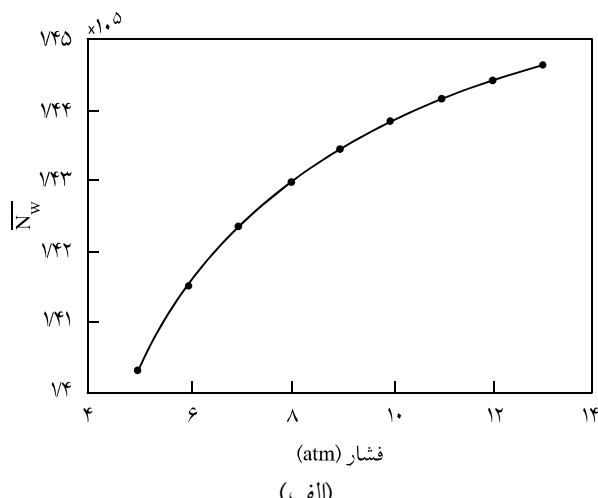


(الف)

شکل ۱۰- اثر فشار بر: (الف) میانگین شاخص چندتوزیعی و (ب) زمان اقامت مورد نیاز.



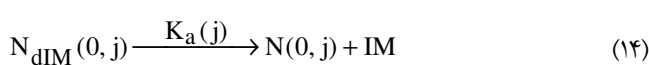
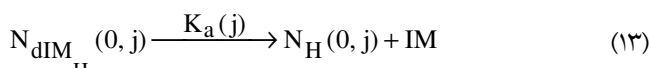
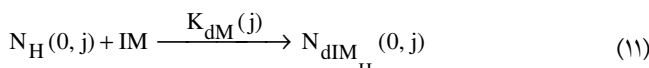
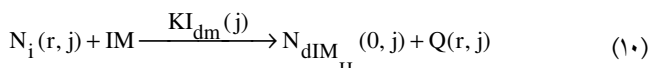
(ب)



(الف)

شکل ۱۱- اثر فشار بر: (الف) متوسط های وزنی ( $\bar{N}_w$ ) و (ب) عددی ( $\bar{N}_n$ ) طول زنجیرهای پلیمری.

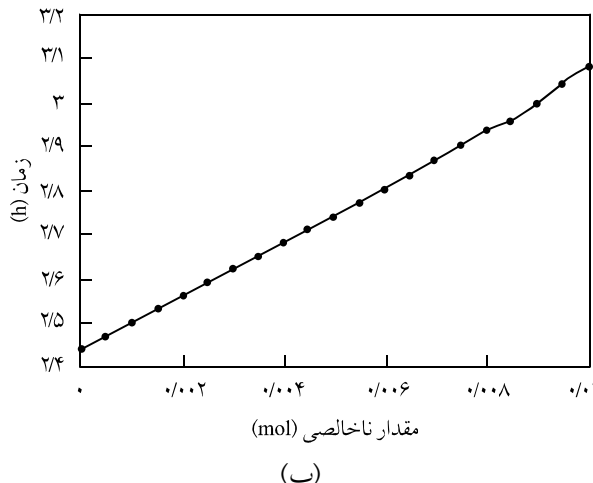
مراحل تشکیل و واکنش با ناخالصی‌ها



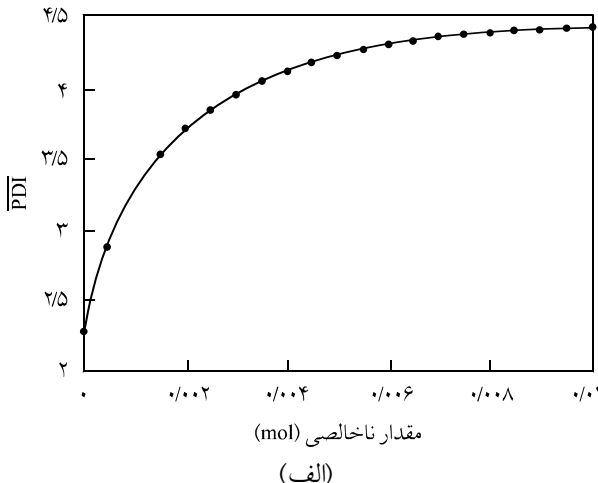
کاهش می‌یابد. با کاهش مصرف کاتالیزور و کمک کاتالیزور تعداد مول‌های مراکز فعال در محلول نیز کاهش می‌یابد، در نتیجه طول زنجیرهای تشکیل شده روی مراکز فعال مطابق بند (۱) افزایش می‌یابد. این رفتار در شکل ۱۱ با افزایش  $\bar{N}_n$  و  $\bar{N}_w$  مشابه می‌شود.

#### اثر افزایش ناخالصی‌های خوراک

برای بررسی اثر افزایش ناخالصی‌های خوراک بر زمان اقامت مورد نیاز و متوسط‌های عددی و وزنی طول پلیمر و متوسط شاخص چندتوزیعی محصول پلیمر، تعداد مول‌های ناخالصی‌های خوراک در محدوده ۰ تا ۰.۱ mol تغییر داده شد. برای تفسیر نتایج دیده شده در شکل‌های ۱۲ و ۱۳ واکنش‌های زیر بررسی شد:

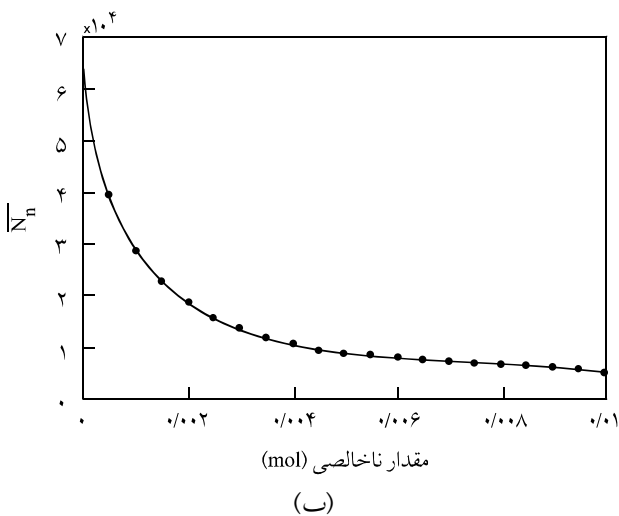


(ب)

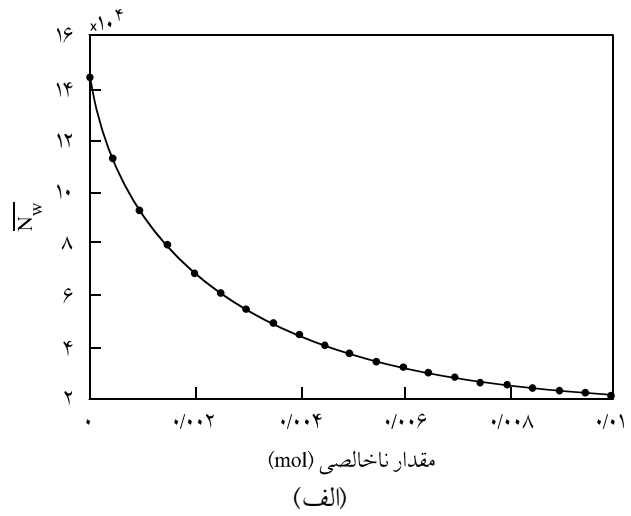


(الف)

شکل ۱۲- اثر مقدار ناخالصی‌ها بر: (الف) میانگین شاخص چندتوزیعی و (ب) زمان اقامت مورد نیاز.



(ب)



(الف)

شکل ۱۳- اثر مقدار ناخالصی ها بر: (الف) متوسط های وزنی ( $\bar{N}_w$ ) و (ب) عددی ( $\bar{N}_n$ ) طول زنجیرهای پلیمری.

که حاصل آن با کاهش  $\bar{N}_n$  و  $\bar{N}_w$  در شکل ۱۳ مشاهده می شود.

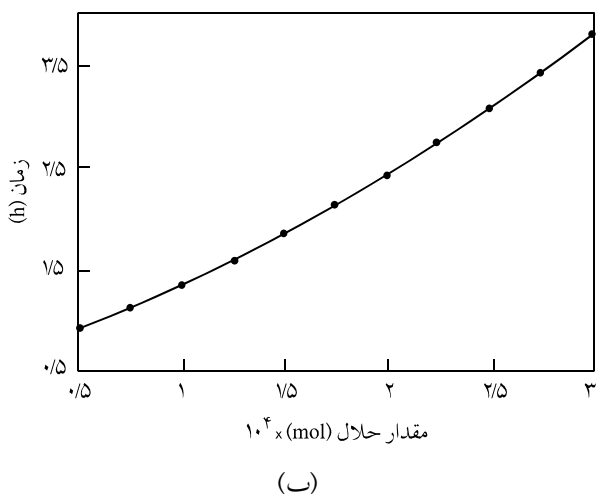
### اثر افزایش حلال

برای بررسی اثر افزایش مول های حلال بر زمان اقامت مورد نیاز و متوسط های عددی و وزنی طول پلیمر و متوسط شاخص چند توزیعی محصول پلیمر، تعداد مول های حلال در محدوده ۵۰۰ تا ۳۰۰۰۰ mol تغییر داده شد.

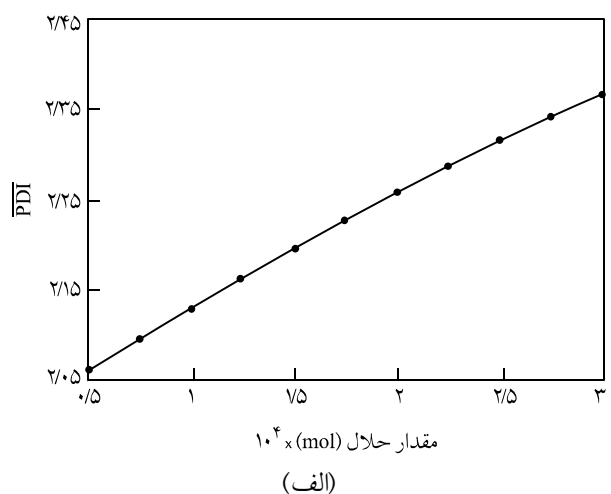
در تفسیر نتایج حاصل باید توجه شود که افزایش مول های حلال باعث کاهش غلظت تمام اجزای واکنش دهنده محلول در حلال می شود و طبیعی است که این کاهش غلظت احتمال رسیدن این اجزا را به یکدیگر کم می کند. در نتیجه زمان اقامت مورد نیاز را برای تبدیل

همان طور که در معادلات (۱۰) تا (۱۲) مشاهده می شود، افزایش ناخالصی های خوراک باعث ایجاد مراکز فعال با ناخالصی های روی آنها می شود و مطابق بند (۴)، هر نوع افزایش مراکز باعث افزایش زمان اقامت مورد نیاز در راکتور می شود. همچنین، طبق بند (۲) افزایش زمان اقامت باعث افزایش شاخص چند توزیعی محصول پلیمری و افزایش مصرف کاتالیزور و کمک کاتالیزور می گردد.

مطابق مرحله تشکیل مرکز فعال، افزایش مصرف این دو باعث افزایش مراکز فعال آغازی از نوع  $(j, 0)N$  و نیز به علت افزایش ناخالصی های باعث افزایش سایر انواع مراکز فعال در محلول می شود که در غلظت ثابت مونومر باعث کاهش سهم این مراکز از مونومرهای موجود می شود، در نتیجه طول زنجیرهای تشکیل شده روی این مراکز کاهش خواهد یافت،

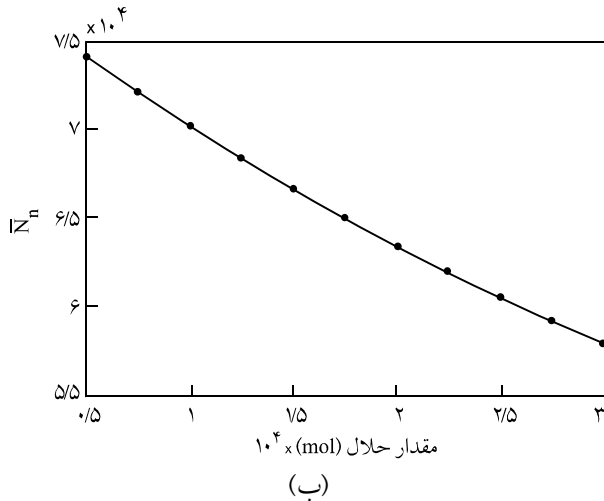


(ب)

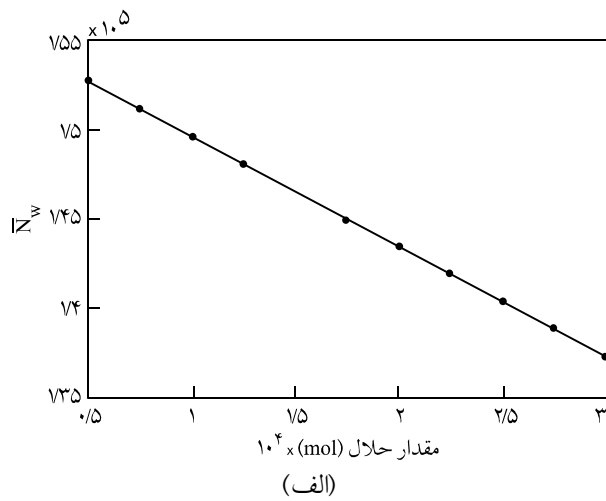


(الف)

شکل ۱۴- اثر مقدار حلال بر: (الف) میانگین شاخص چند توزیعی و (ب) زمان اقامت مورد نیاز.



(ب)



(الف)

شکل ۱۵- اثر مقدار مول حلال بر: (الف) متوسطهای وزنی ( $\bar{N}_w$ ) و (ب) عددی ( $\bar{N}_n$ ) طول زنجیرهای پلیمری.

همواره غلظتی از کمک کاتالیزور و مونومر موجود است که در آن شاخص چندتوزیعی محصول پلیمری به حداقل می‌رسد.

#### علائم و اختصارات

- z: مرکز نوع زام
- (j, 0): مراکر فعال آغازی روی مرکز زام
- (j, \*): مراکر بالقوه فعال روی مرکز زام
- (j, 0, NH): مراکر هیدروژن دار روی مرکز زام
- (j, 0, DIM): مرکز آغازی با ناخالصی روی مرکز زام
- (j, 0, DIMH): مرکز آغازی با ناخالصی و هیدروژن
- $\bar{N}_w$ : متوسط وزنی طول زنجیر پلیمری
- $\bar{N}_n$ : متوسط عددی طول زنجیر پلیمری
- PDI: متوسط شاخص چندتوزیعی محصول پلیمری
- IM: ناخالصی
- A: کمک کاتالیزور
- H<sub>2</sub>: هیدروژن
- (j, r, i): زنجیر پلیمری به طول r، روی مرکز نوع زام که به مونومر انتهایی آختمند شده است.
- (j, r, Q): زنجیر پلیمری غیر قابل رشد به طول r، روی مرکز زام

غلظت معینی از اتیلن، همان طور که در شکل ۱۴ مشخص است، افزایش می‌دهد. از طرفی مطابق بند (۲)، افزایش زمان اقامت در راکتور باعث افزایش شاخص چندتوزیعی محصول و افزایش مصرف کاتالیزور و کمک کاتالیزور می‌شود.

مطابق مرحله تشکیل مرکز فعال افزایش مصرف کاتالیزور و کمک کاتالیزور باعث افزایش مراکر فعال آغازی در محلول می‌شود و چون این افزایش در غلظت ثابت مونومرهاست، بنابراین، سهم مراکر فعال از مونومرها کم شده و طول زنجیرهای تشکیل شده روی این مراکر، همان طور که در شکل ۱۵ مشاهده می‌شود، کاهش می‌یابد.

#### نتیجه‌گیری

در این پژوهش، مدل کاملی برای راکتور مخزنی هم زن دار برای پلیمر شدن اتیلن در مجاورت کاتالیزورهای زیگلر - ناتا ارائه شده است. در این مدل، اثر پارامترهای مختلف بر متوسطهای وزنی و عددی طول زنجیر پلیمری، شاخص چندتوزیعی محصول و زمان اقامت مورد نیاز راکتور در نظر گرفته شده است. نتایج نشان می‌دهد، افزایش غلظت کاتالیزور، کمک کاتالیزور، هیدروژن و ورود ناخالصی‌ها همراه خوراک به سامانه و همچنین رقیق کردن اجزای محلول به وسیله افزایش مول‌های حلال، باعث کاهش وزن مولکولی محصول پلیمری می‌شود. ولی، افزایش فشار و غلظت مونومر باعث افزایش وزن مولکولی محصول می‌شود. همچنین در غلظت تثیت شده سایر اجزا در سامانه،

## مراجع

1. Khare N.P., Seavey K.C. and Liu Y.A., Steady-state and Dynamic Modeling of Commercial Slurry High-density Polyethylene (HDPE) Processes, *Ind. Eng. Chem. Res.*, **41**, 5601-5618, 2002.
2. Soares J.B.P. and Hamielec A.E., General Dynamic Mathematical Modeling of Heterogeneous Ziegler-Natta and Metallocene Catalyzed Copolymerization with Multiple Site Types and Mass and Heat Transfer Resistances, *Polym. Reac. Eng.*, **3**, 261-324, 1995.
3. Soares J.B.P. and Hamielec A.E., Copolymerization of Olefins in a Series of Continuous Stirred-tank Slurry-reactors Using Heterogeneous Ziegler-Natta and Metallocene Catalysts, I. General Dynamic Mathematical Model, *Polym. Reac. Eng.*, **4**, 153-191, 1996.
4. Kittilsen P., Togersen R., Rytter E. and Svendsen H., Modeling of Gas-liquid Mass-transfer Limitations in Slurry Olefin Polymerization, *Ind. Eng. Chem. Res.*, **40**, 1090-1096, 2001.
5. McAuley K.B., MacGregor J.F. and Hamielec A.E., A Kinetic Model for Industrial Gas-phase Ethylene Copolymerization, *AIChE J.*, **36**, 837-850, 1990.
6. Buls V.W. and Higgins T.L., A Particle Growth Theory for Heterogeneous Ziegler Polymerization, *J. Polym. Sci., Part A1*, **8**, 1037-1053, 1970.
7. Boor J., *Ziegler-Natta Catalysts and Polymerization*, Academic, New York, 1979.
8. Hock C.W., How TiCl<sub>3</sub> Catalysts Control the Texture of Polymerized Polypropylene, *J. Polym. Sci., Part A1*, **4**, 3055-3061, 1966.
9. Kakugo M., Sedatoshi H., Sakai J. and Yokoyama M., Growth of Propylene Particle in Heterogeneous Ziegler-Natta Polymerization, *Macromolecules*, **22**, 3172-3177, 1989.
10. Wilchinsky Z.W., Looney R.W. and Tornquist G.M., Dependence of Polymerization Activity on Particle and Crystallite Dimensions in Ball Milled TiCl<sub>3</sub> and TiCl<sub>3</sub>. 0.33 AlCl<sub>3</sub> Catalysts Components, *J. Catal.*, **28**, 351-367, 1973.
11. Floyd S., Choi K.Y., Taylor T.W. and Ray W.H., Polymerization of Olefins through Heterogeneous Catalysis, IV. Modeling of Heat and Mass Transfer Resistance in the Polymer Particle Boundary Layer, *J. Appl. Polym. Sci.*, **31**, 2231-2265, 1986.
12. Hutchinson R.A., Chen C.M. and Ray W.H., Polymerization of Olefins through Heterogeneous Catalysis X: Modeling of Particle Growth and Morphology, *J. Appl. Polym. Sci.*, **44**, 1389-1414, 1992.
13. Mokhtari J., *Modeling and Simulation of HDPE Slurry Reactor*, MSc Thesis, Sharif University of Technology, 2003.